

雌、雄弓背青鳉(*Oryzias curvinotus*) 肝脏转录组比较分析*

董忠典 黎学友 廖健 张宁 郭昱嵩 王中铎^①

(广东海洋大学水产学院 南海水产经济动物增养殖重点实验室 湛江 524088)

摘要 为发掘弓背青鳉(*Oryzias curvinotus*)肝脏功能基因、开发环境检测标记基因,本研究采用 RNA-Seq 技术分别测定了性成熟雌、雄弓背青鳉肝脏转录组,并获得 80095044 和 87043984 条 clean reads, 合并拼接出 49912 个 unigenes ($N_{50}=2394\text{bp}$)。基因表达差异分析显示在雌、雄弓背青鳉肝脏组织中存在 571 个差异基因(DEGs), 其中 364 个在雄鱼中高表达, 207 个在雌鱼中高表达。GO 和 KEGG 分析表明差异基因主要参与激素合成、免疫反应、氧化还原反应及卵黄发生等生物学过程。进一步, 在转录组中筛选到了多个环境雌激素相关标记基因(*vtgs*, *chgs*, *er*, *cyp450* 等), 且这些基因在雌鱼肝脏中的表达水平显著高于雄鱼。研究结果丰富了弓背青鳉的基因资源, 为研究基因功能提供了数据, 也有助于进一步研究鱼类肝脏在不同性别之间的功能。

关键词 弓背青鳉; 肝脏; 转录组测序; 差异基因; 生物标志物

中图分类号 S917.4 doi: 10.11693/hyz20191200274

肝脏是脊椎动物最重要的器官之一, 在物质能量代谢、激素合成及免疫反应等生理过程中具有重要意义(van der Oost *et al.*, 2003; Tom *et al.*, 2004; Lai *et al.*, 2015; Zhang *et al.*, 2017)。在鱼类中, 雌性肝脏还是卵黄蛋白原(vitellogenins, *vtgs*)、透明带蛋白前体(choriogenins, *chgs*)、雌激素受体(estrogen receptor, *er*)和细胞色素P450(cytochrome P450s, *cyp450s*)等基因的主要表达器官, 这些基因对环境中雌激素物质较为敏感, 当水体环境中存在雌激素类物质时, 可以诱导雄鱼肝脏表达这些基因(Lee *et al.*, 2002; Chen *et al.*, 2008; Lai *et al.*, 2015)。

弓背青鳉(*Oryzias curvinotus*)是一种广泛分布于我国南海沿岸水域的小型鱼类, 为红树林水域的常见物种(Hayakawa *et al.*, 2015; Wang *et al.*, 2017)。弓背青鳉具有体型小、生长快、性成熟时间短和胚胎发育透明的特点, 可以用于实验室饲养繁殖; 其对盐度有较强的适应能力, 具备开发成海洋环境毒理及盐度适应

研究新模式种的潜力(Hayakawa *et al.*, 2015)。同时, 弓背青鳉的性染色体为 XX/XY 型, 具有性别标记, 是研究海洋鱼类性别决定和分化机制的潜在模型(Matsuda *et al.*, 2003; 董忠典等, 2018)。同属的日本青鳉(*Oryzias latipes*)和海水青鳉(*Oryzias melastigma*)已被广泛应用于淡水和海水环境检测研究(Metcalf *et al.*, 2000; Chen *et al.*, 2008; Hong *et al.*, 2015; Cong *et al.*, 2017; Abdel-moneim *et al.*, 2018)。然而, 缺乏基因组和转录组信息, 在很大程度上限制了弓背青鳉资源的开发和利用。本研究采用 RNA-Seq 技术分别对雌、雄弓背青鳉肝脏进行了转录组测序、基因功能注释和表达谱分析, 以期为弓背青鳉基因资源的开发提供基础数据。

1 材料与方法

1.1 弓背青鳉的采集及总肝脏 RNA 提取

本研究所用性成熟弓背青鳉(平均体长 29.25mm,

* 国家自然科学基金项目, 41806195 号, 31201996 号; 广东省科技厅项目, 2017A030303075 号; 广东海洋大学创新强校项目, 230419069 号, 230419055 号; 广东海洋大学“南海学者计划”青年人才项目, QNXZ201903 号; 广东海洋大学博士启动项目, 521202279 号。董忠典, 博士, E-mail: zddong@gdou.edu.cn

通信作者: 王中铎, 教授, 硕士生导师, E-mail: aduofa@hotmail.com

收稿日期: 2019-12-24, 收修改稿日期: 2020-03-01

平均体质量 0.27g)采集自湛江雷州半岛近岸的高桥国家级红树林保护区(21°36'24"N, 109°47'8"E), 实验室暂养 30d, 温度 25±1°C, 盐度 15, 光暗周期 14h:10h。解剖通过性腺类型确定弓背青鳉生理性别, 雌雄各 3 尾取肝脏分别进行总 RNA 提取, 使用 DNase I(宝生物, 大连)去除基因组污染。使用 1% 琼脂糖凝胶电泳分析 RNA 完整性, Nanodrop 检测 RNA 的纯度(OD₂₆₀/OD₂₈₀ 比值), Qubit 检测总 RNA 浓度, RNA 满足进行下一步的文库构建的要求。对 3 尾雌性肝脏总 RNA, 分别取等量(1.0μg)混合为一个 RNA 样品池(FL), 用同样的方法获得雄性肝脏 RNA 样品池(ML), 对 FL 和 ML 各取 1.5μg 总 RNA, 分别进行 cDNA 文库构建和转录组测序。

1.2 文库构建及测序

使用带 Oligo(dT)的磁珠富集真核生物 mRNA, 加入 fragmentation buffer 将 mRNA 打断成短片段, 以 mRNA 为模板, 用六碱基随机引物合成第一链 cDNA, 然后加入缓冲液、dNTPs 和 DNA 聚合酶和 RNase H 合成第二链 cDNA, 再用 AMPure XP beads 纯化双链 cDNA。纯化的双链 cDNA 先进行末端修复、加 A 尾并连接测序接头, 再用 AMPure XP beads 选择 150—200bp 片段。随后进行 PCR 扩增, 并用 AMPure XP beads 纯化 PCR 产物, 得到最终的文库。文库构建完成后, 用 Qubit2.0 进行初步定量并稀释至 1.5ng/μL, 用 Agilent 2100 确认文库插入片段大小, 最后用 Q-PCR 方法对文库的有效浓度进行准确定量(文库有效浓度>2nmol/L), 以保证文库质量。库检合格后, 进行 Illumina HiSeq 测序, cDNA 文库的制备和测序由诺禾致源生物信息科技有限公司(天津)完成。

1.3 转录组测序质量控制和组装

为了保证转录组分析质量, 对原始测序数据(raw reads)过滤, 去除带接头的 reads、N(N 表示无法确定碱

基信息)的比例大于 0.1% 的 reads、低质量(质量值 Qphred<=20 的碱基数占整个 reads 的 50%以上)的 reads, 得到高质量测序数据(clean reads)。采用 Trinity 软件对 clean reads 进行拼接(Grabherr *et al*, 2011)。

1.4 基因功能注释

为获得全面的基因功能信息, 使用 7 大数据库对 Trinity 拼接获得的 unigenes 进行功能注释。使用在线 BLAST 程序对 unigenes 在 Nr (<http://www.ncbi.nlm.nih.gov>)期望值 e-value < e⁻⁵、Nt (<http://www.ncbi.nlm.nih.gov>) e-value < e⁻⁵、Swiss-Prot (<http://www.expasy.ch/sprot>) e-value < e⁻⁵、KOG (<http://www.ncbi.nlm.nih.gov>) e-value < e⁻³、KO (<https://www.kegg.jp/kegg/ko.html>) e-value < e⁻¹⁰ 和 GO (<http://www.geneontology.org/>) e-value < e⁻⁶ 进行比对注释。通过 HMMER3.0 (e-value < 0.01)程序对 unigenes 在 Pfam 数据库中进行蛋白家族注释(Eddy, 2011)。

1.5 基因表达水平和差异分析

将 Trinity 拼接得到的转录组作为参考序列, 通过 RSEM 对每个样本的基因表达水平进行估计: 将 Clean data 比对到组装好的参考序列上, 根据比对结果得到每个基因的 Readcount 数目, 采用 TMM 对 read count 数据进行标准化处理, 再用 DEGseq 进行差异分析, 筛选阈值为 qvalue <0.005 且|log₂(foldchange)|>1 (Wang *et al*, 2010)。

1.6 差异基因 GO 和 KEGG 富集分析

使用 R 软件中的 GOseq 对弓背青鳉雌雄肝脏转录组差异基因进行显著性富集分析(Young *et al*, 2010)。使用 KOBAS 软件检测差异基因在 KEGG 通路中富集情况(Mao *et al*, 2005)。

1.7 实时荧光定量 PCR(RT-qPCR)验证

利用 RT-qPCR 技术, 弓背青鳉雌雄肝脏转录组中选择 12 个基因进行定量验证(引物见表 1)。

表 1 本研究所用引物及序列
Tab.1 The sequences of primers used in this study

Gene ID	基因	引物序列
Cluster-16672.13788	<i>p4502k1</i>	F: AAGGGCTCTCCCATTCAATTCTC R: CAAAGACTGGCAAACATCGTCC
Cluster-16672.14045	<i>camp</i>	F: GATTTAGAGGAAGGTCCAACAGG R: TGTTAGTCACAACACAGCAGTCAC
Cluster-16672.12590	<i>endoplasmic</i>	F: AGCCGTGAAGTGGATGTGAG R: AAGACCGTATGGACTGGGAAC
Cluster-16672.15532	<i>sult2b</i>	F: AAAGGGAAAGACAAGCCAGC R: AATGAAACTGGAGAGCGAGC
Cluster-16672.14794	<i>utp</i>	F: TGATGCTAACTGACCCGTGC R: TGGGACATAGGATAAAGGTGACG
Cluster-16672.13077	<i>gapdh</i>	F: TTGTGATGGGTGTCAACCAC R: CTGTGATGGCGTGAACGTG

续表

Gene ID	基因	引物序列
Cluster-16672.13170	<i>adp</i>	F: GCGATTACATCATCACACAG R: AAAGAGCGGACCAACTGAG
Cluster-16672.13129	<i>chgl</i>	F: TCCTCTCTGGGTTCCATTCTC R: GCTTGACGGTAGCCTATGTG
Cluster-16672.13099	<i>chgh</i>	F: CAACTCATCACAGTCGCTTCC R: CATCCGTTCTAATGGCTACAGC
Cluster-16672.13123	<i>vtg2</i>	F: CCCTGGCATCTACAAAGTGTTC R: TTGAATCCTCGCTGATAACG
Cluster-16672.13069	<i>vtg1</i>	F: TTGGCATCAGAACAGCGTTC R: CAACATAAACACAACCTGGTATCC
Cluster-16672.13027	<i>chghm</i>	F: AGTCACCTCGTGTGGCACTG R: CTGTCCTGGTAATGGCTCC
Cluster-16672.13113	<i>vtglike</i>	F: TTTGAGGGATTGACTGGTCTG R: TTGAAGGTCTGGCATCACC
Cluster-16672.12461	<i>p45027c</i>	F: TGTTCACACACACTGCCTTGAG R: TCAGCCTCGGACAATAGACG

RT-qPCR 反应体系 15μL, 包含 7.5μL 2×Power Green qPCR Mix (东盛生物, 广州), 0.6μL 上下游引物 (10μmol/L), 1.5μL cDNA, 4.8μL ddH₂O。每个样品技术重复 3 次, 反应置于 Roche LightCycler 96(罗氏, 瑞士)上运行。反应程序如下: 95°C 3min; 95°C 15s, 60°C 15s, 72°C 30s (采集荧光), 40 个循环; 熔解曲线分析检测 PCR 产物的特异性。*gapdh* 和 *adp* 作为内参基因, 使用 SPSS17.0 采用 $2^{-\Delta\Delta Ct}$ 方法对目的基因表达水平进行统计(Livak *et al.*, 2001)。

1.8 微卫星标记(SSR)检测

采用 MISA (<http://pgrc.ipk-gatersleben.de/misa/misa.html>)对弓背青鳉肝脏转录组拼接获得的 unigenes

进行微卫星标记(SSR)检测, 设置各重复单元类型的最少重复次数为: 1—10、2—6、3—5、4—5、5—5、6—5。以 1—10 为例, 该设置表示单核苷酸重复类型至少重复 10 次才被算为微卫星。

2 结果

2.1 测序结果与组装

本研究分别构建了雌、雄弓背青鳉肝脏 cDNA 文库, 并进行了转录组测序。测序结果经过质控后, 分别获得 80095044 和 87043984 条 Clean reads。经 Trinity 组装, 共得到 49912 个 unigenes, 其中 N50 长度为 2394bp, 其中长度大于 1000bp 的 unigenes 共计 25423 个(图 1)。

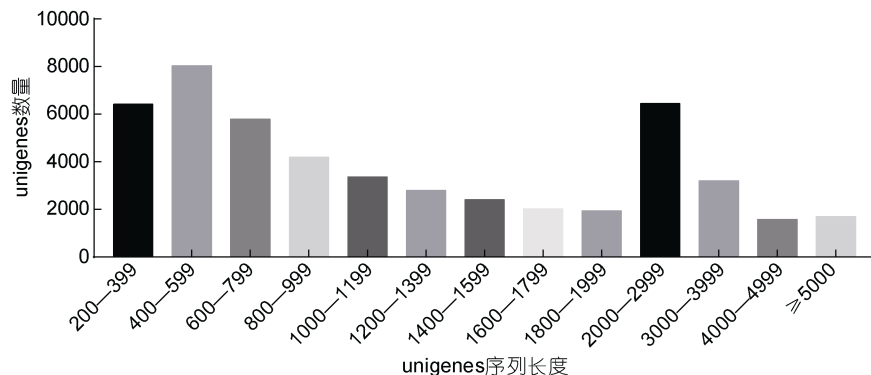


图 1 unigenes 序列长度分布图

Fig.1 The distribution of sequence length of the unigenes

2.2 转录组注释

通过 BLAST 比对, 分别在 NR、NT、SwissProt、PFAM、KOG 数据库中注释到 32651、47988、19005、25587 和 19005 个 unigenes。与 NR 数据库比对发现有 32649 个 unigenes 与 390 个物种基因序列高度同源, 其中 77.6%(25349 个)的 unigenes 和日本青鳉基因序

列同源, 其次有 3.6% 的 unigenes 和深裂眶锯雀鲷 (*Stegastes partitus*) 同源(图 2)。为进一步了解弓背青鳉雌、雄肝脏表达基因集的功能, 将拼接的 unigenes 在 GO 和 KO 数据库中进行了比对分析。25630 个 unigenes 被归类到 GO 三个大类(生物学过程、分子功能和细胞成分)55 个功能分类中(图 3)。生物学过程包

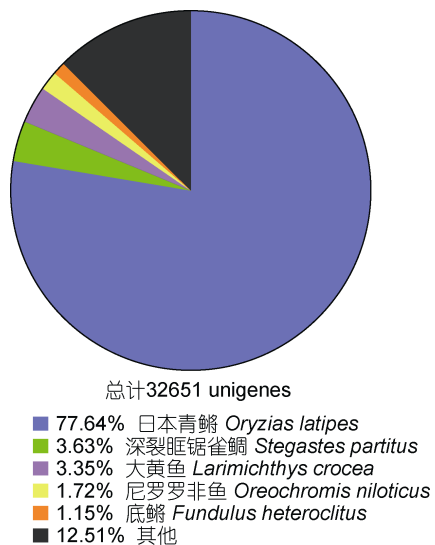


图 2 弓背青鳉 unigenes 同源物种分布
Fig.2 Distribution of homologous species of *O. curvinotus* unigenes

括 25 个功能分类, 参与“细胞过程”(15094)和“代谢过程”(12821)的基因最多; 细胞成分包含 20 个功能分类, “细胞”(8419)和“细胞部分”(8419)基因最多; 分子功能包含 10 个功能分类, “结合”(16155)和“催化活性”(10114)基因最多。对基因做 KO 注释后, 可根据它们参与的 KEGG 代谢通路进行分类。共有 18887 个 unigenes 在 KO 数据库中获得注释, 富集到 232 个 KEGG 信号通路中, 其中“PI3K-Akt”信号通路含有最多(657)的 unigenes, 其次是“内吞”(615)、“斑黏连”(521)和“肌动蛋白骨架”的调节通路(508)。

2.3 差异基因表达及富集分析

通过 DEGseq 对弓背青鳉雌、雄肝脏转录组基因进行差异表达分析(差异基因筛选条件为: $qvalue < 0.005 \& |\log_2(foldchange)| > 1$), 结果如图 4 所示, 有 207 个 unigenes 在雌鱼肝脏中上调, 364 个 unigenes 在雄鱼肝脏上调。对差异基因(DEGs)进行 GO 和 KEGG

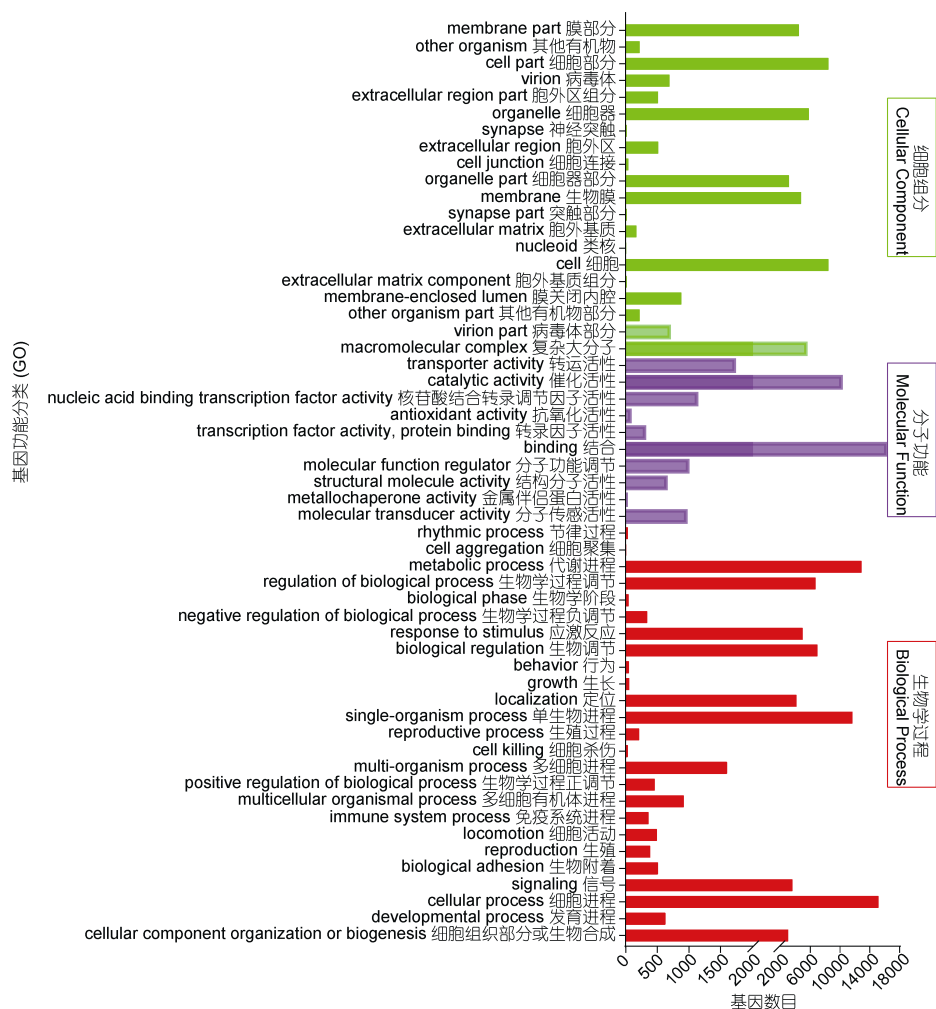


图 3 弓背青鳉 unigenes GO 分类图

Fig.3 Gene ontology (GO) assignment of assembled unigenes of *O. curvinotus*
注: 纵坐标为 GO 三个大类的下一级别的 GO term, 横坐标为注释到该 term 下的基因个数

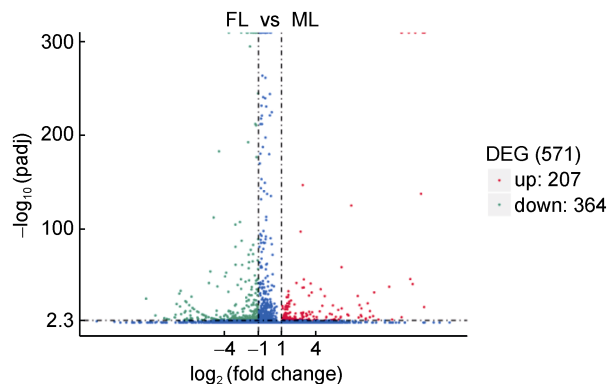


图 4 雌、雄弓背青鳉肝脏基因差异表达分析火山图
Fig.4 Volcano plot of differences in gene expression between female liver (FL) and male liver (ML)

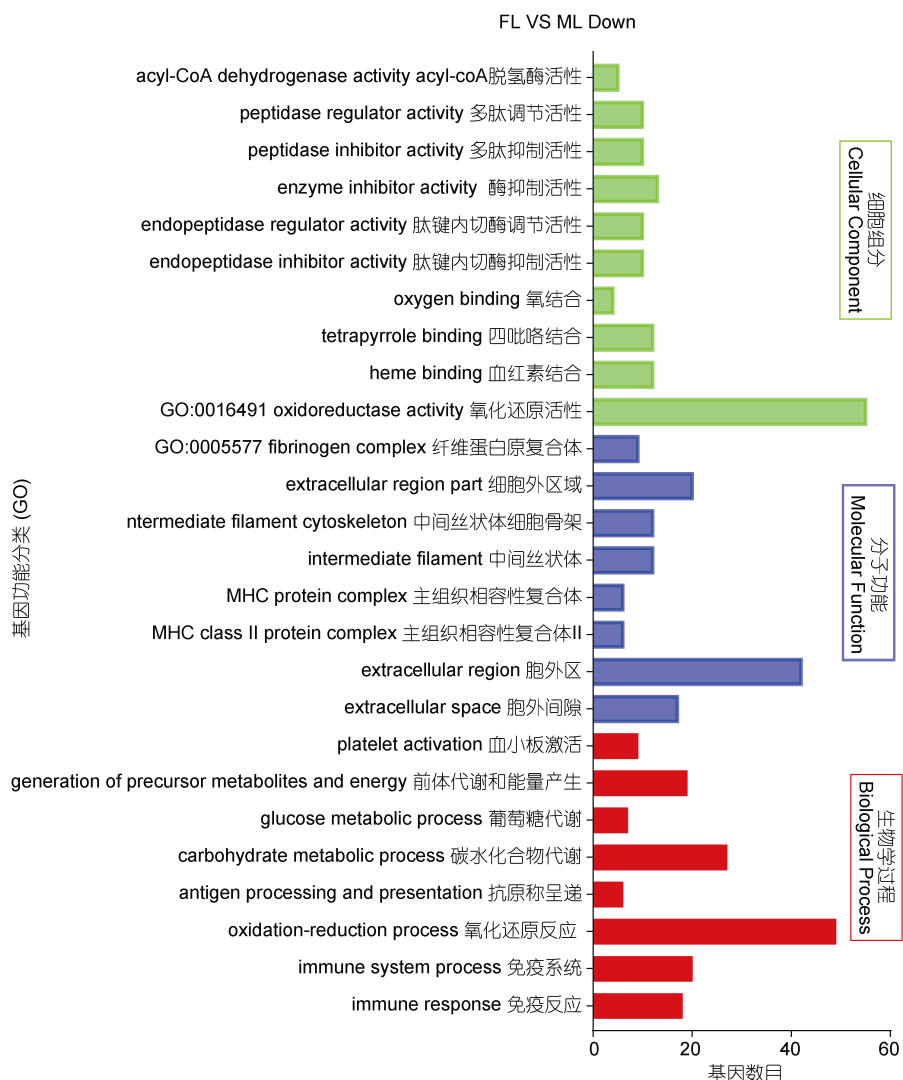
注: 横坐标代表基因在 FL/ML 不同样品中表达倍数变化; 纵坐标代表基因表达量变化的统计学显著程度。图中的散点代表各个基因, 蓝色圆点表示无显著性差异的基因, 红色圆点表示 FL 有显著性差异的上调基因, 绿色圆点表示 ML 有显著性差异的下调基因

富集分析, GO 富集结果显示雌性肝脏高表达基因主要

参与蛋白质合成过程, 雄性高表达基因主要参与免疫及氧化还原反应(图 5)。KEGG 分析结果显示 DEGs 富集到 244 个 KEGG 通路中, 涉及核糖体、PPAR 信号通路、卵巢类固醇激素生成、类固醇生物合成、不饱和脂肪酸合成和内质网蛋白质加工等通路(图 6)。

2.4 RT-qPCR 验证

本研究选择了在雌、雄弓背青鳉肝脏 RNA-Seq 分析中的 12 个差异表达基因, 通过 RT-qPCR 技术对 RNA-Seq 结果进行验证。所选的验证基因包括环腺苷三磷酸依赖的转录因子 *camp*, 内质网基因 *endoplasm*, UDP-葡萄糖醛酸转移酶基因 *utp*, 磷基转移酶家族 2B 基因 *sult2b* 及部分检测环境雌激素物质的标记基因如卵黄蛋白原基因 *vtg1*、*vtg2*、*vtglike*, 透明带蛋白前体基因 *chgl*、*chgh*、*chghm*, 细胞色素 P450 基因 *p4502k1*、*p45027c*。结果表明所选基因的表达模式与 RNA-Seq 分析相一致, 说明 RNA-Seq 分析结果可信(见图 7)。



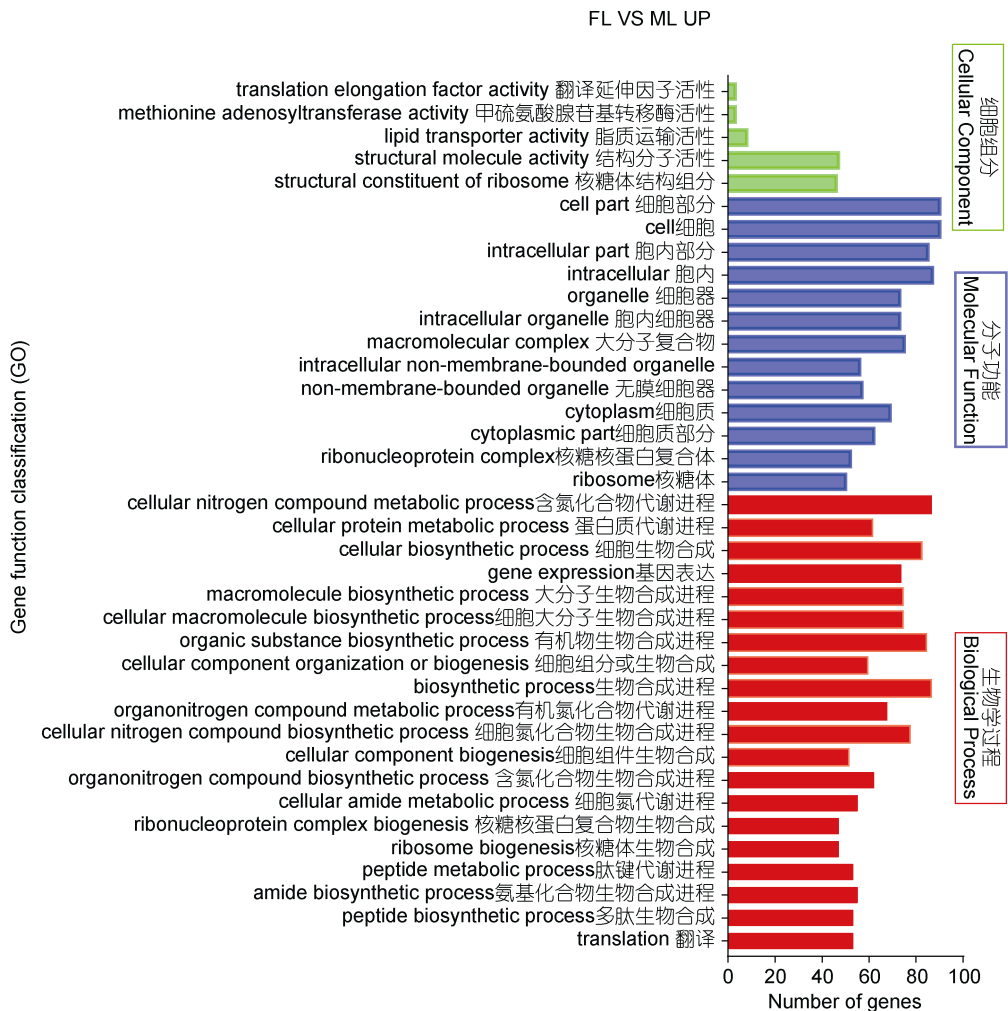
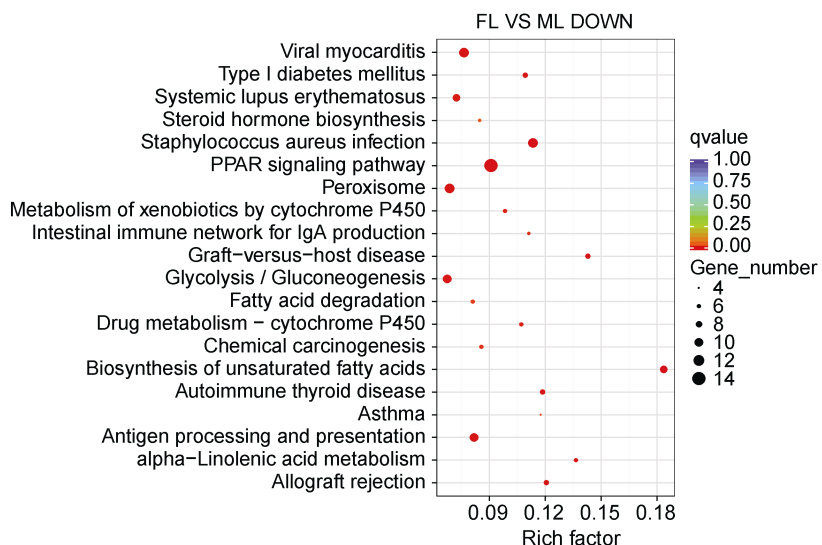


图 5 弓背青鳉雌雄肝脏差异基因 GO 富集

Fig.5 GO assignment of differentially expressed genes (DEGs) of *O. curvinotus*
注: 纵坐标为 GO 三个大类的下一级别的 GO term, 横坐标为注释到该 term 下的基因个数



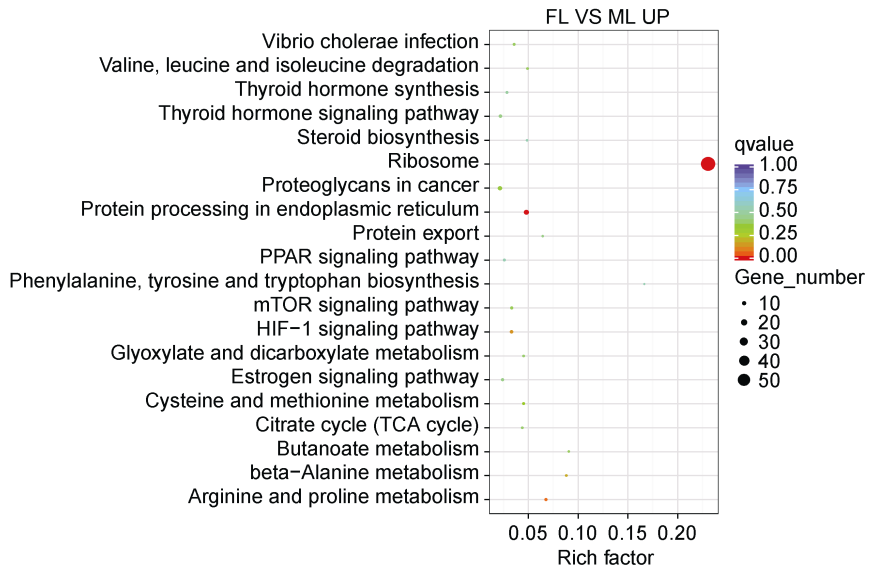


图 6 弓背青鳉雌雄肝脏差异基因 KEGG 富集

Fig.6 KEGG assignment of differentially expressed genes of *O. curvinotus*

注: 纵轴表示 pathway 名称, 横轴表示 pathway 对应的 Rich factor, qvalue 的大小用点的颜色来表示, qvalue 越小则颜色越接近红色, 每个 pathway 下包含的差异基因的多少用点的大小来表示

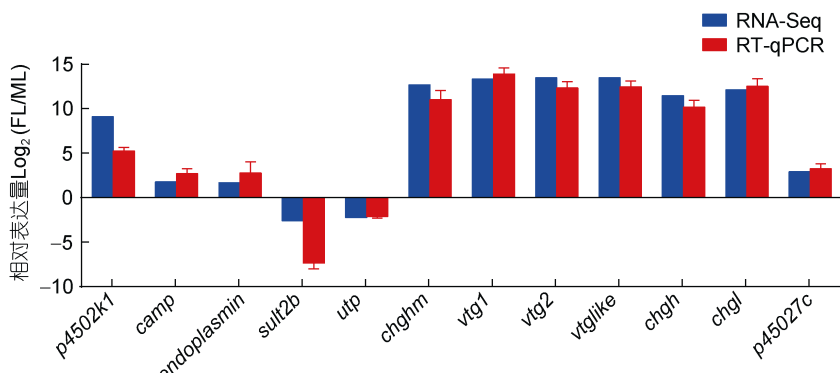


图 7 RT-qPCR 检测 RNA-Seq 结果

Fig.7 Validation of RNA-Seq data using RT-qPCR

注: RNA-Seq 结果为 $\log_2(\text{雌性 read count} / \text{雄性 read count})$, RT-qPCR 为 $\log_2(\text{FL}/\text{ML})_{gapdh}$ 和 adp 作为内参基因, 每种性别选 3 个生物学重复($n=3$)

2.5 简单重复序列 SSR 分析

利用 MISA 软件对弓背青鳉进行 SSR 标记鉴定, 用于遗传多样性研究。有 18326 条 unigenes 序列含有 SSR 标记, 共计 28195 个, 其中 6373 条 unigenes 包含一个以上的 SSR。各种类型的 SSR 标记出现的频率不同(表 2), 单核苷酸重复 SSR 出现的频率最高, 占总 SSR 的 73.17%, 其次是三核苷酸重复 SSR, 占总 SSR 的 19%。另外, 不同重复序列的相对丰度差异很大。A/T 在单核苷酸 SSR 中最常见, 在双核苷酸 SSR 中, AG/CT 最为常见。AGG/CCT 和 AAAC/GTTT 是三、四核苷酸 SSR 中最常见的元件。

3 讨论

3.1 弓背青鳉转录组测序分析

为了阐明弓背青鳉肝脏表达基因的功能和涉及的生物学过程, 本研究分别构建了性成熟雌、雄弓背青鳉肝脏 cDNA 文库, 并在 Illumina 平台进行了 RNA-Seq 测序, 分别获得了 80095044 和 87043984 条 Clean reads。N50 长度是评价 RNA-Seq 组装质量的重要参数, 本研究弓背青鳉肝脏转录组 N50 长度为 2394bp, 高于多个已发表的水生动物肝脏转录组, 包括海水青鳉(2162bp) (Lai *et al.*, 2015), 七鳃鳗(*lampetra japonica*)

表 2 弓背青鳉肝脏转录组 SSR 类型及数量
Tab.2 SSR summary from the *O. curvinotus* liver transcriptome

统计类别	数目
序列总数	49912
碱基总数(bp)	76849041
SSR 位点总数	28195
含有 SSR 位点序列	18326
含有 1 个以上 SSR 位点的序列	6373
单核苷酸重复	20631
二核苷酸重复	2901
三核苷酸重复	4282
四核苷酸重复	349
五核苷酸重复	27
六核苷酸重复	5

(1447bp) (李庆伟等, 2018), 脂鲤(*Pterygoplichthys anisitsi*) (1571bp) (Parente *et al.*, 2017), 低于海鲈(*Dicentrarchus labrax*) (3257bp) (Magnanou *et al.*, 2014)。对 NR 数据库比对, 发现有 77.64% (32649 条 unigenes 中的 25349 个) 的可比对序列与日本青鳉基因同源(图 2), 可能是因为弓背青鳉和日本青鳉均属于青鳉属, 亲缘关系密切(Wang *et al.*, 2017)。

表 3 弓背青鳉肝脏转录组中参与免疫反应相关 KEGG 通路的 unigenes
Tab.3 KEGG pathways with immune-related genes enrichment in the liver transcriptomes of *O. curvinotus*

通路编号	KEGG 通路名称	基因数目
ko04612	抗原处理及呈递	123
ko04662	B 细胞受体信号通路	179
ko04062	趋化因子信号通路	353
ko04610	补体和凝集系统	136
ko04623	胞质 DNA 检验通路	63
ko04664	Fc epsilon RI 信号通路	157
ko04666	Fc gamma R 信号调理吞噬	241
ko04640	造血	79
ko04672	IgA 生产的肠道免疫网络	45
ko04670	白细胞跨内皮迁移	272
ko04621	NOD 样受体信号通路	93
ko04650	自然杀伤细胞介导细胞毒性	188
ko04611	血小板活性	373
ko04622	RIG-样受体信号通路	109
ko04660	T 细胞受体信号通路	245
ko04620	Toll-样受体信号通路	163

血小板上具有 toll 样受体, 在机体的先天免疫应答中起着关键作用。当病原菌与血小板结合时, 血小板活化同时分泌抗菌肽, 引起机体免疫反应(Cox *et*

al., 2011)。白细胞跨内皮迁移在先天性和适应性免疫系统应答中起重要作用(Muller, 2011)。当机体受损时, 就会发生炎症反应, 它涉及血液中预先形成的可溶

3.2 弓背青鳉免疫相关基因

肝脏是鱼类的重要免疫器官, 通过 KEGG 分析, 从弓背青鳉肝脏转录组中筛选出了多个可能参与免疫相关防御途径的 unigenes(表 3): 373 个 unigenes 参与了血小板活化, 272 个 unigenes 参与了白细胞跨内皮迁移, 245 个 unigenes 参与了 T 细胞受体信号通路, 136 个 unigenes 参与了补体和凝血级联, 188 个 unigenes 参与了自然杀伤细胞介导的细胞毒性, 163 个 unigenes 参与了 Toll-样受体信号通路等过程。在七鳃鳗的肝脏转录组中也有相似的结果(李庆伟等, 2018)。

性元素迅速而短暂地运送到受伤部位, 随后是较长时间的白细胞运送, 经内皮细胞迁移可能是炎症反应的不可逆点(Jimenez *et al.*, 2010; Muller, 2011)。补体和凝集通路在机体固有免疫防御中具有重要意义(Bajic *et al.*, 2016), 在小瓜虫感染的大黄鱼(*Larimichthys crocea*)早期免疫中发挥重要作用; 另外, 补体和凝集通路在鳗弧菌感染后半滑舌鳎的免疫反应中也发挥了重要作用(Zhang *et al.*, 2015; Yin *et al.*, 2016)。综上, 我们推测弓背青鳉的肝脏可能在抵御病原体入侵的免疫防御中发挥重要作用。

3.3 环境内分泌干扰物的生物标志物

鱼类肝脏常被用作检测环境中雌激素物质的靶器官, 通常用于检测环境雌激素物质的标记基因在雌鱼肝脏中大量表达, 如 *chgs*、*vtg*、*cyp450s* 和 *er*(Bucheli *et al.*, 1995; Arukwe *et al.*, 2001; Lee *et al.*, 2002; Chen *et al.*, 2008)等。*Chgs* 基因编码放射带蛋白(ZPs)的前体, ZPs 占据了鱼卵壳的大部分, 由 ZP-1、2 和 ZP-3 两个主要亚基群组成(Hamazaki *et al.*, 1989; Murata *et al.*, 1991)。在性成熟雌鱼中, 雌激素诱导 Chgs 在肝脏中合成, 随血液流动整合到放射带中。当雄鱼被环境雌激素物质刺激时, 肝脏也产生 Chgs。在日本青鳉中, 双酚 A、壬基酚和乙炔雌二醇均可以诱导 Chgl 和 Chgh 的表达, 表达量的增加与雌激素剂量呈正相关(Lee *et al.*, 2002)。Chen 等(2008)研究表明海水青鳉 *chgl* 和 *chgh* 基因对环境雌激素物质也有相似的响应。卵黄蛋白原是硬骨鱼类卵黄蛋白前体, 虽然 Vtgs 在成熟的雌性体内自然存在, 而在雄性体内则不存在, 但雌性激素或环境雌激素分泌物可以诱导雄性产生 Vtgs。因此, 雄性肝脏中的 vtgs 转录产物, 可用于指示检测对象过去或当前暴露于雌激素或具有雌激素效应的环境干扰物。本研究在弓背青鳉肝脏转录产物中发现了多种环境雌激素的生物标志物, 这些基因在性成熟雌性肝脏中的表达水平明显高于雄性肝脏, 可用于将弓背青鳉开发成广盐性环境监测模式物种。

3.4 SSR 标记

SSRs 是一种重要的分子标记, 可作为群体遗传学研究的资源。本研究, 从 18326 个 unigenes 中共获得 28195 个 SSRs。在已鉴定的 SSRs 中, 单核苷酸重复基序最为丰富, 重复核苷酸较多的 SSRs 较少(表 2), 这与斑石鲷(*Oplegnathus punctatus*)(Du *et al.*, 2017)、花蟹(*Charybdis feriatus*)(Zhang *et al.*, 2017)及多鳞鱈(*Sillago sihama*)(Tian *et al.*, 2019)的 SSRs 分析相一致。

本研究获得的弓背青鳉 SSR 标记, 为遗传多样性研究提供了数据, 也有助于进一步绘制弓背青鳉遗传连锁图谱和开发弓背青鳉遗传资源。

4 结论

本研究首次获得了弓背青鳉雌雄肝脏转录组。共获得 49912 个 unigenes, 48391 个 unigenes 被定位到主要数据库, 丰富了弓背青鳉的功能基因资源。通过功能分析推测肝脏可能在弓背青鳉抵御病原体入侵的免疫防御中发挥作用, 同时鉴定到了多个环境雌激素生物标志基因(*vtgs*, *chgs*, *er*, *cyp450* 等), 为将其开发成环境监测物种提供了基础。此外, 从 18326 个含有 SSR 序列的 unigenes 中获得了 28195 个 SSR, 为弓背青鳉遗传多样性的研究提供数据。

参 考 文 献

- 李庆伟, 华一杉, 冯少姝等, 2018. 基于 RNA-Seq 技术的日本七鳃鳗(*Lampetra japonica*)肝脏转录组从头组装及分析. 辽宁师范大学学报(自然科学版), 41(1): 68—78
 张燕萍, 章海鑫, 崔 瑾等, 2018. 基于 RNA-seq 的黄尾鮰肝脏转录组测序与分析. 水生态学杂志, 39(6): 87—94
 董忠典, 龙水生, 黄承勤等, 2018. 一种快速鉴定弓背青鳉遗传性别的方法. 广东海洋大学学报, 38(3): 25—29
 Abdel-moneim A, Mahapatra C T, Sepúlveda M S, 2018. *In vivo* visual reporter system for estrogenic contaminant exposure using transgenic see-through Japanese medaka *Oryzias latipes*. *Chemosphere*, 201: 251—253
 Arukwe A, Kullman S W, Hinton D E, 2001. Differential biomarker gene and protein expressions in nonylphenol and estradiol-17 β treated juvenile rainbow trout (*Oncorhynchus mykiss*). *Comparative Biochemistry and Physiology Part C: Toxicology & Pharmacology*, 129(1): 1—10
 Bajic G, Degn S E, Thiel S *et al.*, 2016. Complement activation, regulation, and molecular basis for complement-related diseases. *The EMBO Journal*, 34(22): 2735—2757
 Bucheli T D, Fent K, 1995. Induction of cytochrome P450 as a biomarker for environmental contamination in aquatic ecosystems. *Critical Reviews in Environmental Science and Technology*, 25(3): 201—268
 Chen X P, Li V W T, Yu R M K *et al.*, 2008. Choriogenin mRNA as a sensitive molecular biomarker for estrogenic chemicals in developing brackish medaka (*Oryzias melastigma*). *Ecotoxicology and Environmental Safety*, 71(1): 200—208
 Chen Q L, Luo Z, Huang C *et al.*, 2016. De novo characterization of the liver transcriptome of javelin goby *Synechogobius hasta* and analysis of its transcriptomic profile following waterborne copper exposure. *Fish Physiology and Biochemistry*, 42(3): 979—994
 Cong Y, Jin F, Wang J Y *et al.*, 2017. The embryotoxicity of ZnO nanoparticles to marine medaka, *Oryzias melastigma*. *Aquatic Toxicology*, 185: 11—18

- Cox D, Kerrigan S W, Watson S P, 2011. Platelets and the innate immune system: mechanisms of bacterial-induced platelet activation. *Journal of Thrombosis and Haemostasis*, 9(6): 1097—1107
- Du X X, Wang B, Liu X M et al, 2017. Comparative transcriptome analysis of ovary and testis reveals potential sex-related genes and pathways in spotted knifejaw *Oplegnathus punctatus*. *Gene*, 637: 203—210
- Eddy S R, 2011. Accelerated profile HMM searches. *PLoS Computational Biology*, 7(10): e1002195
- Grabherr M G, Haas B J, Yassour M et al, 2011. Full-length transcriptome assembly from RNA-Seq data without a reference genome. *Nature Biotechnology*, 29(7): 644—652
- Hamazaki T S, Nagahama Y, Iuchi I et al, 1989. A glycoprotein from the liver constitutes the inner layer of the egg envelope (zona pellucida interna) of the fish, *Oryzias latipes*. *Developmental Biology*, 133(1): 101—110
- Hayakawa H, Le Q D, Kinoshita M et al, 2015. Genetic similarity of the Hainan medaka populations collected from hyper-and hypo-osmotic environments in northern Vietnam. *Ocean Science Journal*, 50(2): 231—235
- Hong H Z, Shen R, Liu W X et al, 2015. Developmental toxicity of three hexabromocyclododecane diastereoisomers in embryos of the marine medaka *Oryzias melastigma*. *Marine Pollution Bulletin*, 101(1): 110—118
- Jimenez J J, Jy W, Mauro L M et al, 2010. Transendothelial migration of leukocytes is promoted by plasma from a subgroup of immune thrombocytopenic purpura patients with small-vessel ischemic brain disease. *American Journal of Hematology*, 83(3): 206—211
- Lai K P, Li J W, Wang S Y et al, 2015. Tissue-specific transcriptome assemblies of the marine medaka *Oryzias melastigma* and comparative analysis with the freshwater medaka *Oryzias latipes*. *BMC Genomics*, 16(1): 135
- Lee C, Jin G N, Lee K C et al, 2002. Choriogenin mRNA induction in male medaka, *Oryzias latipes* as a biomarker of endocrine disruption. *Aquatic Toxicology*, 61(3—4): 233—241
- Livak K J, Schmittgen T D, 2001. Analysis of relative gene expression data using real-time quantitative PCR and the $2^{-\Delta\Delta CT}$ method. *Methods*, 25(4): 402—408
- Magnanou E, Klopp C, Noirot C et al, 2014. Generation and characterization of the sea bass *Dicentrarchus labrax* brain and liver transcriptomes. *Gene*, 544(1): 56—66
- Mao X Z, Cai T, Olyarchuk J G et al, 2005. Automated genome annotation and pathway identification using the KEGG Orthology (KO) as a controlled vocabulary. *Bioinformatics*, 21(19): 3787—3793
- Matsuda M, Sato T, Toyazaki Y et al, 2003. *Oryzias curvinotus* has *DMY*, a gene that is required for male development in the medaka, *O. latipes*. *Zoological Science*, 20(2): 159—161
- Metcalfe T L, Metcalfe C D, Kiparissis Y et al, 2000. Gonadal development and endocrine responses in Japanese medaka (*Oryzias latipes*) exposed to *o*, *p'*-DDT in water or through maternal transfer. *Environmental Toxicology and Chemistry*, 19(7): 1893—1900
- Muller W A, 2011. Mechanisms of leukocyte transendothelial migration. *Annual Review of Pathology: Mechanisms of Disease*, 6: 323—344
- Murata K, Hamazaki T S, Iuchi I et al, 1991. Spawning female-specific egg envelope glycoprotein-like substances in *Oryzias latipes*. *Development, Growth and Differentiation*, 33(6): 553—562
- Parente T E, Moreira D A, Magalhães M G P et al, 2017. The liver transcriptome of suckermouth armoured catfish (*Pterygoplichthys anisitsi*, Loricariidae): Identification of expansions in defensome gene families. *Marine Pollution Bulletin*, 115(1—2): 352—361
- Tian C X, Li Z Y, Dong Z D et al, 2019. Transcriptome analysis of male and female mature gonads of silver sillago (*Sillago sihama*). *Genes*, 10(2): E129
- Tom M, Chen N, Segev M et al, 2004. Quantifying fish metallothionein transcript by real time PCR for its utilization as an environmental biomarker. *Marine Pollution Bulletin*, 48(7—8): 705—710
- van der Oost R, Beyer J, Vermeulen N P E, 2003. Fish bioaccumulation and biomarkers in environmental risk assessment: a review. *Environmental Toxicology and Pharmacology*, 13(2): 57—149
- Wang L K, Feng Z X, Wang X et al, 2010. DEGseq: an R package for identifying differentially expressed genes from RNA-seq data. *Bioinformatics*, 26(1): 136—138
- Wang Z D, Long S S, Liao J et al, 2017. Complete mitogenome of Hainan medaka *Oryzias curvinotus* (Teleostei: Beloniformes) and transcriptional differences between male and female liver. *Mitochondrial DNA Part B*, 2(1): 157—158
- Yin F, Gao Q X, Tang B J et al, 2016. Transcriptome and analysis on the complement and coagulation cascades pathway of large yellow croaker (*Larimichthys crocea*) to ciliate ectoparasite *Cryptocaryon irritans* infection. *Fish & Shellfish Immunology*, 50: 127—141
- Young M D, Wakefield M J, Smyth G K et al, 2010. Gene ontology analysis for RNA-seq: accounting for selection bias. *Genome Biology*, 11(2): R14
- Zhang X, Wang S L, Chen S L et al, 2015. Transcriptome analysis revealed changes of multiple genes involved in immunity in *Cynoglossus semilaevis* during *Vibrio anguillarum* infection. *Fish & Shellfish Immunology*, 43(1): 209—218
- Zhang X Y, Wen H S, Wang H L et al, 2017. RNA-Seq analysis of salinity stress-responsive transcriptome in the liver of spotted sea bass (*Lateolabrax maculatus*). *PLoS One*, 12(3): e0173238

COMPARATIVE TRANSCRIPTOME ANALYSIS OF MALE AND FEMALE LIVER OF *ORYZIAS CURVINOTUS*

DONG Zhong-Dian, LI Xue-You, LIAO Jian, ZHANG Ning,
GUO Yu-Song, WANG Zhong-Duo

(Guangdong South China Sea Key Laboratory of Aquaculture for Aquatic Economic Animals, Fisheries College, Guangdong Ocean University, Zhanjiang 524088, China)

Abstract *Oryzias curvinotus* is distributed mainly along the coast of the South China Sea. To date, there are no genomic or transcriptomic studies on *O. curvinotus*. We constructed hepatic transcriptomes of male and female *O. curvinotus* using Illumina sequencing and identified genes that may be involved in protein synthesis, cell metabolism, and immunity. In total, 80095044 and 87043984 clean reads were obtained from the female and male liver, respectively. Reads were assembled into 49912 unigenes in N50 value of 2394bp. Gene expression patterns in the male and female livers were compared, and 571 differentially expressed genes (DEGs) were identified. Of these genes, 364 were up-regulated in the male and 207 in the female. RT-qPCR analysis of 12 selected genes showed patterns consistent with the transcriptome results. GO and KEGG analysis showed that the differential genes were mainly involved in the biological processes of hormone synthesis, immune response, redox reaction, and vitellogenesis etc. Furthermore, multiple environmental estrogen-marker genes (*vtgs*, *chgs*, *er*, *cyp450*, etc.) were screened in the transcriptome of the liver of medaka, and the expression level in the female liver was significantly higher than that in the male's. The results enrich the genetic resources of the *O. curvinotus*, provide data for the study of gene function, and contribute to the further study of the function of fish livers between different genders.

Key words *Oryzias curvinotus*; liver; transcriptome sequencing; differentially expressed genes; biomarker